

О.И. Алдошина, В.В. Бачериков, В.А. Фабриков

## ДИФРАКЦИОННАЯ РЕШЕТКА КАК ОТВЕТВИТЕЛЬ ИЗЛУЧЕНИЯ С ПЛАВНО ПЕРЕСТРАИВАЕМОЙ ХАРАКТЕРИСТИКОЙ

Рассмотрена возможность построения на дифракционной решетке отражательного типа (зеркало со слабо возмущенным по периодическому закону профилем отражающей поверхности) ослабителя излучения с плавно регулируемым коэффициентом  $e_n$  ответвления энергии в пучок  $n$ -го порядка дифракции. Управление величиной  $e_n$  осуществляется поворотом зеркала-решетки на угол  $\alpha$  вокруг биссектрисы угла между падающим и дифрагировавшим пучками; направление последнего при этом не меняется. Найдена аналитическая зависимость  $e_n(\alpha)$ . Для линейно-поляризованной волны при конфигурации Литрова (дифрагировавший пучок направлен навстречу падающему) она записывается в виде  $e_n(\alpha) = B[1 + g_n \cos^2(\alpha + \Phi^\circ)]$ . Здесь  $B$  и  $g_n$  — постоянные с типовыми значениями  $B \approx 10^{-3}$  и  $g_n \approx 2$ .

Ответвитель может найти в лазерной технике ряд применений, связанных с калибровкой оптических устройств, например — при формировании опорных импульсов в блоке контроля за выходным излучением лидара.

1. Ответвители на дифракционной решетке используют в качестве ослабителей излучения [1] и первичных преобразователей при контроле за параметрами лазеров [2–4]. Теория и общие принципы применения таких ответвителей в оптике рассмотрены в работах [5, 6]. Некоторые сведения о технологии изготовления и характеристиках ответвителей приведены в работе [7].

В простейшем варианте ответвитель рассматриваемого типа представляет собой хорошо отражающее в заданном диапазоне волн металлическое зеркало со слабо возмущенным по линейному периодическому закону профилем отражающей поверхности. Угловое разделение пучков различного порядка дифракции в спектре отраженных волн определяется периодом  $d$ , а доля ответвляемой в эти пучки энергии излучения — глубиной  $h$  профиля. Величины  $d$  и  $h$  оцениваются по отношению к длине волны  $\lambda$  падающего на решетку излучения. При малых  $h/\lambda$  доля  $e_n$  энергии, ответвляемой в пучок  $n$ -го порядка дифракции, близка к  $(2\pi h/n\lambda)^2$ . Но она зависит также от углов падения и дифракции и в определенных обстоятельствах может существенно отличаться от приведенного значения. Ею можно управлять, меняя ориентацию зеркала-решетки в пространстве по отношению к падающему пучку излучения.

Существующие методы расчета — численные при больших значениях  $h/\lambda$  и аналитические при малых — позволяют с большой точностью оценивать  $e_n$  по известным параметрам решетки и углам ее ориентации в пространстве при различных состояниях поляризации падающего излучения. В ряде случаев ответвитель на решетке можно рассматривать как расчетное средство измерения и использовать в качестве масштабного преобразователя энергии лазерных пучков в эталонных и поверочных установках [4]. Важной особенностью такого преобразователя является то, что структура прошедшего (зеркально отраженного) и ответвленных пучков при хорошем технологическом исполнении решетки практически не различаются между собой и совпадают со структурой падающего пучка. Важной особенностью ответвителя является также устойчивость его характеристик к процессам старения. В результате старения может измениться доля поглощаемой и диффузно рассеиваемой решеткой энергии падающего излучения. При этом изменятся доли энергий прошедшего (зеркально отраженного) и дифрагировавших пучков. Однако отношения этих величин остаются практически постоянными. Процессы старения, таким образом, мало сказываются на дифракционных эффективностях решетки, если последние относить не к падающему, а к проходящему (зеркально отраженному) излучению. Но именно так определенные эффективности представляют в большинстве случаев практический интерес.

Устройства рассматриваемого типа, позволяющие с большой точностью воспроизводить и передавать единицу ослабления сигнала от лазерного источника в диапазоне значения  $10^2 - 10^6$  ( $e_n = 10^{-2} - 10^{-6}$ ), используются при калибровке и проверке оптической аппаратуры. Особый интерес они могли бы представлять в связи с задачей калибровки устройств, работающих на борту космических станций, например, при формировании опорных импульсов в блоке контроля за выходным излучением лидаров [8]. Их применение для указанных целей, однако, затрудняется сложностью настройки на заданное значение  $e_n$  и варьирования этого значения в требуемых пределах вокруг номинала. В данной статье рассматривается принципиальная возможность построения ответвителя на дифракционной решетке с плавно перестраиваемой характеристикой  $e_n$ , в котором эти трудности частично устраняются. Выводятся необходимые для анализа свойств ответвителя расчетные соотношения.

2. В основу работы ответвителя с перестраиваемой характеристикой положен известный в теории решеток принцип геометрической инвариантности [9]. Согласно этому принципу, при вращении решетки вокруг некоторого специально выбранного направления ориентация дифрагировавшего пучка в пространстве остается неизменной. Таким направлением является биссектриса угла между дифраги-

ровавшим и падающим пучками. Ориентация дифрагировавшего пучка при вращении решетки вокруг этого направления остается неизменной, но доля ответвляемой в него энергии меняется. Зависимость  $e_n$  от угла поворота решетки  $\alpha$  при малых  $h/\lambda$  может быть представлена в виде

$$e_n = B_n f_n(\alpha), \quad 0 \leq \alpha < 2\pi, \quad n = \pm 1, \pm 2, \dots \quad (1)$$

Здесь  $B_n$  — не зависящая от угла  $\alpha$  постоянная

$$B_n = (4\pi/\lambda)^2 |C_n|^2, \quad (2)$$

выражаемая через длину волны излучения  $\lambda$  и коэффициенты Фурье  $C_n$  периодической функции  $\xi(x) = \xi(x + d)$ , описывающей профиль решетки;  $f(\alpha)$  — непрерывная, плавно меняющаяся функция  $\alpha$ . Для решетки прямоугольного профиля ( $\xi(x) = h$  при  $0 \leq x < pd$  и  $\xi(x) = 0$  при  $pd \leq x < d$ )

$$C_n = \frac{\sin(n\pi p)}{n\pi} h. \quad (2')$$

Величина  $p$ , так же как и  $d$  и  $h$ , является технологически управляемым параметром. При  $p = 1/2$  коэффициенты  $|C_n|^2$  для всех четных порядков дифракции обращаются в нуль, а для нечетных равны  $(h/n\pi)^2$ .

Задача заключается в том, чтобы найти в явном виде входящую в уравнение (1) функцию  $f(\alpha)$ .

Выберем для рассмотрения в качестве начального ( $\alpha=0$ ) такое положение решетки, при котором ее штрихи перпендикулярны плоскости падения волны. Это соответствует простейшему случаю плоской дифракции волны на решетке. Введем неподвижную систему декартовых координат, совместив ось  $y$  с нормалью к плоскости решетки в ее начальном положении, а ось  $z$  — с направлением штрихов. Ось вращения  $OO'$ , совпадающая с биссектрисой угла между падающим и дифрагировавшим пучками  $n$ -го порядка, лежит при этом в плоскости  $xy$  под углом  $\beta = (\Theta_n^\circ - \Theta^\circ)/2$  к оси  $y$  (см. рисунок). Здесь  $\Theta^\circ$  и  $\Theta_n^\circ$  — углы падения и дифракции, связанные между собой формулой плоской дифракции

$$\sin \Theta_n^\circ = \sin \Theta^\circ + n\lambda/d. \quad (3)$$

Нуль в показателе степени отмечает углы, относящиеся к начальному положению решетки ( $\alpha = 0$ ).

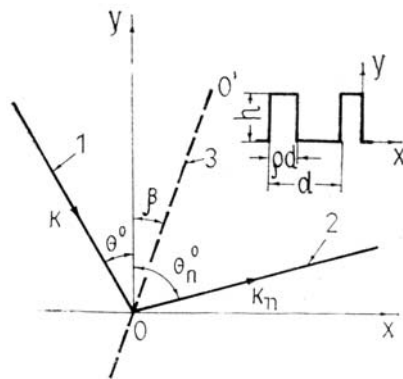


Рис. 1. Схема дифракции (плоской) в начальном положении решетки: 1 — падающий пучок излучения с волновым вектором  $\mathbf{k}$ ; 2 — дифрагировавший пучок с волновым вектором  $\mathbf{k}_n$ ; 3 — биссектриса угла между падающим и дифрагировавшим пучками, совпадающая с осью вращения  $OO'$

При повороте решетки вокруг  $OO'$  из начального положения на произвольный угол  $\alpha$  случай плоской дифракции, когда плоскость падения перпендикулярна штрихам решетки и пучки всех порядков дифракции лежат в одной плоскости, сменяется, вообще говоря, более сложным случаем конической дифракции. Штрихи решетки образуют теперь с плоскостью падения угол  $90^\circ - \varphi$ , отличный от  $90^\circ$ , и дифрагировавшие пучки лежат не в одной плоскости, а на поверхности конуса; ось конуса параллельна штрихам решетки, а плоский угол при вершине  $2\Omega$  определяется соотношениями

$$\cos \Omega = \sin \Theta_n \sin \varphi_n = \sin \Theta \sin \varphi, \quad n = 0, \pm 1, \dots \quad (4)$$

Здесь  $\Theta$ ,  $\varphi$  и  $\Theta_n$ ,  $\varphi_n$  — полярный и азимутальный углы падающего и дифрагировавшего пучков в системе отсчета, связанной с повернутой вокруг оси  $OO'$  на угол  $\alpha$  решеткой. Уравнение (4) дает первое соотношение между углами  $\Theta_n$ ,  $\varphi_n$  и  $\Theta$ ,  $\varphi$  при конической дифракции. Второе соотношение записывается в виде

$$\sin \Theta_n \cos \varphi_n = \sin \Theta \cos \varphi + n\lambda/d. \quad (5)$$

Оба соотношения, (4) и (5), являются следствием закона сохранения импульса применительно к периодическим структурам.

Для случая конической дифракции плоской линейно-поляризованной волны на отражательной идеально проводящей решетке с мелким профилем ( $2nh/\lambda \ll 1$ ) доля  $e_n$  энергии, ответвляемой в пучок  $n$ -го порядка дифракции, определяется выражением [10]

$$e_n = B_n \cos \Theta_n \cos \Theta \left[ 1 + v_n^2 \frac{(\cos \varphi \cos \Phi + \sin \varphi \cos \Theta \sin \Phi)^2}{\cos^2 \Theta_n \cos^2 \Theta} \right], \quad (6)$$

$$n = \pm 1, \pm 2, \dots$$

Здесь

$$\cos \Theta_n = (\cos^2 \Theta - 2v_n \sin \Theta \cos \varphi - v_n^2)^{1/2}, \quad (6')$$

$$v_n = n\lambda/d;$$

$\Phi$  — угол между вектором напряженности электрического поля волны  $\mathbf{E}$  и перпендикулярным к волновому вектору к направлению в плоскости падения. Выражение, стоящее в круглых скобках правой части уравнения (6), является скалярным произведением двух векторов: единичного вектора  $\mathbf{E}/E$  и вектора  $\mathbf{u}$ , лежащего в плоскости  $xy$  и представляющего собой повернутую на 90 градусов проекцию на эту плоскость единичного волнового вектора  $\mathbf{k}/k$  падающей волны.

Чтобы от уравнения (5) прийти к уравнению (1), нужно выразить через  $\alpha$  все входящие в (5) функции углов  $\Theta$ ,  $\Theta_n$ ,  $\varphi$ ,  $\Phi$ . Сделаем это, воспользовавшись известными способами математического описания вращений в трехмерном евклидовом пространстве [11].

3. Вращения трехмерного пространства вокруг произвольной фиксированной оси образуют подгруппу (коммутативную) группы трехмерных вращений  $R_3^+$ . Это двумерные вращения, которым соответствуют матрицы преобразования вида [11]

$$A_{jk}(\alpha) = \delta_{jk} \cos \alpha + \alpha_j \alpha_k (1 - \cos \alpha) - \varepsilon_{jkl} \alpha_l \sin \alpha, \quad (7)$$

$$j, k, l = 1, 2, 3.$$

Здесь  $\delta_{jk}$  и  $\varepsilon_{jkl}$  — символы Кронекера и Леви—Чевита (единичный тензор второго ранга и совершенно антисимметричный единичный псевдотензор 3-го ранга соответственно);  $\alpha$  — параметр, соответствующий углу поворота и принимающий значения из интервала  $0 \leq \alpha \leq 2\pi$ ;  $\alpha_l$  — направляющие косинусы оси вращения в заданной системе координат;  $\alpha = \alpha_0 \alpha_0$ ;  $\alpha_0 = \alpha_0(\alpha_1, \alpha_2, \alpha_3)$ . В нашем случае  $\alpha_1 = \sin \beta$ ,  $\alpha_2 = \cos \beta$ ,  $\alpha_3 = 0$ , и компоненты матрицы вращения принимают вид

$$\left. \begin{aligned} A_{11} &= \cos \alpha + \sin^2 \beta (1 - \cos \alpha), \\ A_{22} &= \cos \alpha + \cos^2 \beta (1 - \cos \alpha), \\ A_{33} &= \cos \alpha, \\ A_{12} &= A_{21} = \sin \beta \cos \beta (1 - \cos \alpha), \\ A_{13} &= -A_{31} = \cos \beta \sin \alpha, \\ A_{32} &= -A_{23} = \sin \beta \sin \alpha. \end{aligned} \right\} \quad (8)$$

При вращении решетки каждый из связанных с ней векторов  $\mathbf{v}$  преобразуется в новый вектор  $\mathbf{v}'$  в соответствии с правилами матричного умножения:

$$v'_j = A_{jk}(\alpha) v_k. \quad (9)$$

Здесь  $A_{jk}(\alpha)$  — матрица преобразования (7); по дважды встречающемуся индексу в (7) и (9) предполагается суммирование. Эквивалентной формой записи уравнений (7, 9) является векторное уравнение

$$\mathbf{v}' = \cos \alpha \mathbf{v} + (1 - \cos \alpha) (\boldsymbol{\alpha}_0 \cdot \mathbf{v}) \boldsymbol{\alpha}_0 + \sin \alpha \boldsymbol{\alpha}_0 \times \mathbf{v}. \quad (10)$$

С помощью формул (7–9) или же формулы (10) можно найти компоненты всех повернутых векторов в старой системе координат и всех неподвижных векторов — в новой. В частности, можно найти в старой системе координат компоненты векторов  $\mathbf{n}_0$ ,  $\boldsymbol{\tau}_0$  и  $\boldsymbol{\eta}_0$  направленных по нормали к решетке, вдоль штрихов и перпендикулярно к ним, и, произведя простые, хотя и громоздкие вычисления, определить все входящие в (6) величины через угол поворота решетки  $\alpha$  и значения углов  $\Theta^\circ$ ,  $\Phi^\circ$ ,  $\Theta_n^\circ$ . При этом получаем уравнение (1), в котором и

$$f_n(\alpha) = e_n/B_n = a_n + v_n^2 b_n^2/a_n \quad (11)$$

$$\left. \begin{aligned} a_n &= \cos \Theta_n \cos \Theta = \cos \Theta_n^\circ \cos \Theta + \left( \frac{\cos \Theta_n^\circ - \cos \Theta^\circ}{2} \right) \sin^2 \alpha, \\ b_n &= \cos \alpha \cos \Phi^\circ - \cos \left( \frac{\Theta_n^\circ + \Theta^\circ}{2} \right) \sin \alpha \sin \Phi^\circ. \end{aligned} \right\} \quad (11')$$

Направления, задаваемые в старой системе координат углами  $\Theta^\circ$  и  $\Theta_n^\circ$ , связанными между собой уравнением плоской дифракции (3), в новой системе координат  $\mathbf{n}_0$ ,  $\boldsymbol{\tau}_0$ ,  $\boldsymbol{\eta}_0$  задаются (для выбранного значения  $n$ ) углами  $\Theta$ ,  $\varphi$  и  $\Theta_n$ ,  $\varphi_n$ , для которых выполняются уравнения конической дифракции (4) и (5). При этом

$$\sin \Theta \cos \varphi = \sin \Theta^\circ \cos^2(\alpha/2) - \sin \Theta_n^\circ \sin^2(\alpha/2).$$

В случае волны эллиптической поляризации аналогичное рассмотрение приводит к более общей формуле где

$$f_n(\alpha) = a_n + v_n^2 [(1 - \varepsilon^2) b_n^2 + \varepsilon^2 c_n] / (1 + \varepsilon^2) a_n, \quad (12)$$

где

$$c_n = 1 - \sin^2 [(\Theta^\circ + \Theta_n^\circ)/2] \sin^2 \alpha; \quad (12')$$

$\varepsilon$  — отношение осей эллипса поляризации по амплитуде. При  $\varepsilon = 0$  из (12) получаем (11); при  $\varepsilon = 1$

$$f_n(\alpha) = a_n + v_n^2 c_n / 2 a_n. \quad (13)$$

4. Формулы (11) и (12) представляют основной результат данной работы. Они подтверждают возможность построения ответвителя с плавно перестраиваемой характеристикой и устанавливают необходимые для этого расчетные соотношения. В формулы (11) и (12) входят как параметры величины  $\Theta^\circ$ ,  $\Theta_n^\circ$ ,  $\Phi^\circ$  и  $\varepsilon$ . Варьирование этими величинами позволяет управлять видом зависимости  $f(\alpha)$ .

Рассмотрим подробнее простейший, но практически важный случай конфигурации Литрова, при которой параметры решетки и ее ориентацию в пространстве выбирают так, что  $\Theta_n^\circ = -\Theta^\circ$ , то есть пучок выбранного порядка дифракции  $n$  направлен навстречу падающему пучку. Это имеет место при  $\sin \Theta^\circ = -v_n/2$ . Тогда  $a_n = \cos^2 \Theta^\circ = (1 - v_n/2)^2$ ,  $b_n = \cos(\alpha + \Phi^\circ)$ ,  $c_n = 1$  и формула (12) принимает вид

$$f_n(\alpha) = \frac{1 + (v_n/2)^4}{1 - (v_n/2)^2} \left[ 1 + \frac{2(v_n/2)^2}{1 + (v_n/2)^4} \left( \frac{1 - \varepsilon^2}{1 + \varepsilon^2} \right) \cos 2\alpha \right], \quad (14)$$

$$|v_n/2| < 1.$$

При написании (14) мы сместили начало отсчета углов  $\alpha$  на величину  $-\Phi^\circ$ . Из (14) видно, что на характер зависимости  $f_n(\alpha)$  сильно влияет состояние поляризации волны. При  $\varepsilon = 1$  эта зависимость для конфигурации Литрова исчезает полностью, а при  $\varepsilon = 0$  она велика и описывается формулой

$$f_n(\alpha) = \frac{1 + (v_n/2)^4}{1 - (v_n/2)^2} \left[ 1 + \frac{2(v_n/2)^2}{1 + (v_n/2)^4} \cos 2\alpha \right]. \quad (15)$$

Последнюю можно получить и непосредственно из уравнения (6), записав это уравнение применительно к случаю плоской дифракции ( $\varphi=0$ ) в виде и положив в нем

$$\Theta_n^* = -\Theta^0 = \arcsin(v_n/2), \quad \Phi = \Phi^0 + \alpha.$$

Действительно, при вращении решетки вокруг направления падающего пучка (а в случае конфигурации Литрова ось вращения совпадает с этим направлением) условия плоской дифракции сохраняются. Сохраняются неизменными углы  $\Theta = \Theta^0$ ,  $\Theta_n = \Theta_n^0$ ,  $\varphi = 0$ . Меняется лишь угол поляризации  $\Phi$ , причем так, что  $\Phi = \Phi^0 + \alpha$ .

Погрешность оценки коэффициентов ответвления энергии  $e_n(\alpha)$  по формулам (1), (12) определяется точностью выставления значений входящих в эти формулы величин  $v_n$ ,  $B_n$ ,  $\Phi^0$  и  $\varepsilon$ . Величина  $v_n = n\lambda/d$  устанавливается с высокой точностью по измеренным значениям  $\lambda$  и  $d$  и в процессе работы устройства обычно не меняется. Величину  $B_n = (4\lambda/nh)^2$  можно рассчитать по измеренной глубине профиля решетки  $h$ ; но удобной для ее нахождения использовать зависимость

$$B_n = \frac{(1 - v_n/2)^2}{1 + (v_n/2)^4} (e_n)_{cp}, \quad (16)$$

связывающую  $B_n$  со средней величиной коэффициента ответвления  $e_n(\alpha)$

$$(e_n)_{cp} = [(e_n)_{max} + (e_n)_{min}]/2. \quad (16')$$

Величину  $(-\Phi^0)$  или начальное значение  $\alpha$  в формуле (14) находят экспериментально поворотом решетки на угол, при котором  $e_n(\alpha)$  достигает максимального значения. Наконец, значение параметра  $(1 - \varepsilon^2)/(1 + \varepsilon^2)$  устанавливается из соотношения

$$\frac{1 - \varepsilon^2}{1 + \varepsilon^2} = \frac{1 + (v_n/2)^4}{2(v_n/2)^2} S_n \quad (17)$$

по измеренной глубине модуляции  $s_n$  сигнала при вращении решетки,

$$S_n = \frac{(e_n)_{max} - (e_n)_{min}}{(e_n)_{max} + (e_n)_{min}}. \quad (17')$$

Основной вклад в методическую погрешность при оценке  $e_n(\alpha)$  дает, таким образом, погрешность измерения величин  $(e_n)_{max}$  и  $(e_n)_{min}$ . Что касается инструментальной погрешности, то она определяется конструктивными и технологическими решениями и может быть сделана достаточно малой.

Основным выводом проведенного рассмотрения является возможность построения на дифракционной решетке отражательного типа (зеркало со слабовозмущенным по периодическому закону профилем отражающей поверхности) ответвителя излучения с плавно регулируемой долей ответвляемой в заданный порядок дифракции энергии излучения падающей волны. Управление этой величиной осуществляется поворотом зеркала—решетки вокруг биссектрисы угла между падающим и дифрагировавшим пучками без изменения ориентации последнего. Зависимость коэффициента ответвления от угла поворота решетки описывается полученными в работе соотношениями (11–14). Ответвители рассматриваемого типа нужны для калибровки и поверки оптических систем различного назначения. В частности, они могут найти применение при формировании опорных импульсов в блоке контроля за выходным излучением лидара.

Исходя из ранее полученных экспериментальных и теоретических данных и из приведенных в данной статье дополнительных расчетных соотношений, можно следующим образом оценить типовые параметры предлагаемого ответвителя:

рабочий диапазон длин волн .....	0,5 – 10,6 мкм
диапазон реализуемых значений коэффициента ответвления .....	$10^{-2} - 10^{-5}$
погрешность в оценке абсолютного значения реализуемого в рабочих условиях коэффициента ответвления .....	10%
погрешность воспроизведения выбранного коэффициента ответвления .....	1%
диапазон варьирования коэффициента ответвления (от номинала) при плавной перестройке ответвителя .....	$\pm 90\%$

В данной статье рассмотрена лишь принципиальная возможность и общая схема построения ответвителя. Вопросы конструирования, оптимальных схемных и технологических решений и метрологических оценок должны стать предметом отдельного рассмотрения.

1. Воронков Г. Л. Ослабители оптического излучения. Л.: Машиностроение, 1980. — 157 с.
2. Loeven E.G., Nevier M., Maystre D. — Appl. Opt., 1976, vol. 15, p. 2937.
3. Аполлонов В. В., Бочкарь Е. П., Заславский В. Я. и др. — Квантовая электроника, 1979, т. 6, с. 15.
4. Дьячков А. Л., Кауфман С. А., Колбановская Н. А. и др. — Вопр. метрологического обеспечения параметров технологических лазеров. Сб. научн. тр. М.: ВНИФТРИ. 1984, с. 99.
5. Electromagnetic theory of gratings/Ed. R. Petit. В: Springer—Verlag, 1980.
6. Maystre D. Rigorous vector theories of diffraction gratings. Progress in optics, 21/Ed. E. Wolf. Elsevier science publishers B. V., 1984.
7. Вертушкин В. К., Дьячков А. Л., Фабриков В. А. — Оптико-механич. промышленность, 1986, № 1, с. 26.
8. Межерис Р. Лазерное дистанционное зондирование. М: Мир, 1987. — 550 с.
9. Maystre D., Nevier M., Hunter W. R. — Appl. Opt., 1985, v. 24, p. 215.
10. Вертушкин В. К., Смоктий О. И., Фабриков В. А. — Доклады АН СССР, 1987, т. 293, с. 860.
11. Корн Г., Корн Т. Справочник по математике для научных работников и инженеров. М.: Наука, 1973. — 831 с.

Всесоюзный научно-исследовательский  
институт оптико-физических измерений, Москва

Поступила в редакцию  
9 декабря 1987 г.

**O.I. Aldoshina, V.V. Bacherikov, V.A. Fabricov. Diffraction Grating Light Splitter for Continuous Tuning of Coupled-out Beam Power.**

The feasibility of constructing a reflection grating light splitter is discussed. The splitter design is to provide continuous tuning of the coupled-out beam power (CBP) for a fixed beam direction. CBP control is effected by rotating the diffraction grating. Possible applications of the tunable splitter in laser and lidar engineering are considered.